

ОПТИЧЕСКАЯ НАКАЧКА ИОНОВ Dy^{3+} В МЕТАМАГНЕТИКЕ $DyFeO_3$ ПРИ АДИАБАТИЧЕСКОМ, ИМПУЛЬСНОМ РАЗМАГНИЧИВАНИИ

И. Б. Крынецкий, Е. В. Синицын

В области температур 4.2—15 К обнаружен аномальный разогрев $DyFeO_3$ при адиабатическом, импульсном размагничивании. Он связывается с инверсией заселенности уровней основных дублетов ионов Dy^{3+} , вследствие которой ими запасается энергия, передаваемая впоследствии фононной подсистеме.

Как известно [1], магнитокалорический эффект (МКЭ) возникает при адиабатическом изменении магнитного состояния образца, в связи

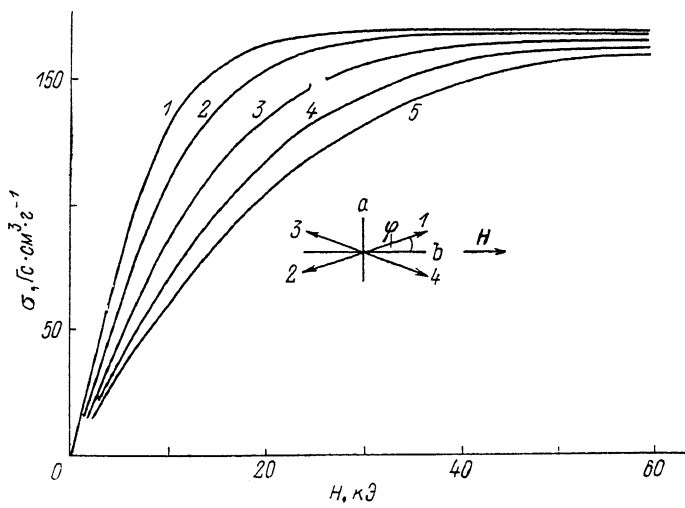


Рис. 1. Изотермы намагничивания $DyFeO_3$ вдоль b -оси.

$T, \text{ К: } 1 - 4.2, 2 - 5.5, 3 - 8.8, 4 - 11.5, 5 - 15.0$. На вставке — расположение магнитных моментов ионов Dy^{3+} .

с чем были предварительно проведены измерения памагниченности $DyFeO_3$ при $H \parallel b$ -оси в интервале температур 4.2—15 К (рис. 1). Видно, что в достаточно большом поле $H > H_c(T)$ происходит насыщение магнитного момента $DyFeO_3$, причем его достигаемая величина свидетельствует о реализации в таких полях структуры C_xF_y [2] с ферромагнитной компонентой вдоль оси b .

Измерения МКЭ в $DyFeO_3$ проводились в области температур 4.2—15 К, превышающих температуру упорядочения редкоземельных ионов $T_{N_2} \approx 3.5$ К [2], по методике, аналогичной разработанной в [3]. Было обнаружено, что намагничивание монокристалла $DyFeO_3$ сопровождается нагревом ΔT_1 (рис. 2), однако при импульсном размагничивании вместо охлаждения образца на $-\Delta T_1$, что соответствовало бы традиционным представлениям об обратимости магнитокалорического эффекта [1], наблюдался их нагрев на $\Delta T_2 \approx 3$ К ($H \approx 10$ кЭ). Это позволяет предположить существование механизма, приводящего к нагреву образцов при импульсном размагничивании. Обозначим вызванное им увеличение температуры как $\Delta T_{\text{ан}}$. По всей видимости, этот механизм работает наряду с обычным МКЭ и связанный с ним нагрев образца должен превосходить вызываемое последним охлаждение $-\Delta T_1$. Таким образом, можно предположить, что $\Delta T_{\text{ан}} = |\Delta T_1| + \Delta T_2$. Полевая зависимость определенной таким образом величины $\Delta T_{\text{ан}}$ приведена на рис. 2.

На наш взгляд, обнаруженный эффект является проявлением квантового характера процессов намагничивания и размагничивания в исследуемом метамагнетике. Рассмотрим более подробно процессы намагничивания и размагничивания $DyFeO_3$. В исследуемой области достаточно низких температур можно ограничиться рассмотрением **нижних** штарковских дублетов Dy^{3+} , волновые функции которых в системе координат с осью z , направленной вдоль соответствующей изинговской оси (рис. 1), имеют вид $[^2] \Psi^\pm \approx | \pm 15/2 \rangle$. В состояниях $| +15/2 \rangle$ моменты ионов Dy^{3+} составляют острый угол с направлением поля $H \parallel b$. При $H > H_c$ расщепление основного дублета ионов Dy^{3+} можно представить в виде

$$\Delta E_\mu(H) = \Delta E_3^\mu + \Delta E_0^\mu, \quad (1)$$

где

$$\begin{aligned} \Delta E_3^\mu &= 2g_{nn}(Dy^{3+})\mu_B |H \cdot n_\mu|, \\ \Delta E_0^\mu &= -2g_{nn}(Dy^{3+})\mu_B |(H_{ex} + H_{MD})n_\mu|. \end{aligned} \quad (2)$$

Здесь $\mu = 1, \dots, 4$ — номер подрешетки Dy^{3+} ; n_μ — орт изинговской оси; g_{nn} — соответствующая ей компонента g -тензора; H_{ex} , H_{MD} — обменное и

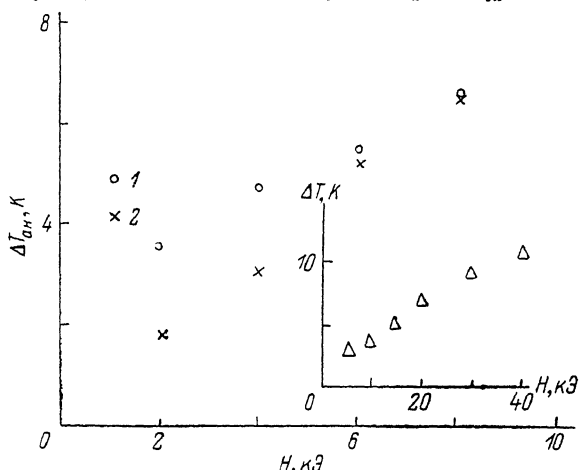


Рис. 2. Полевая зависимость обычного и аномального МКЭ ($H \parallel b$ -оси).
1 — теория, 2 — эксперимент.

магнитодипольное поля, связанные с взаимодействием ионов Dy^{3+} . Насыщение магнитных моментов Dy^{3+} в достаточно большом внешнем поле происходит при $\Delta E_\mu(H) \gg k_B T$ когда больцмановский фактор $\exp\{-\Delta E_\mu(H)/k_B T\}$, определяющий заселенность возбужденного уровня $| -15/2 \rangle$, момента которого образует тупой угол с полем $H \parallel b$, становится малым. Вероятность образования зародышей антиферромагнитной (парамагнитной) фазы при размагничивании системы можно оценить аналогично [4]

$$p \approx \exp \left\{ -\frac{16\pi}{3} \frac{\sigma^3}{\Delta \Phi^2 k_B T} \right\}, \quad (3)$$

где σ — поверхностная плотность энергии границы зародыша (для рассматриваемых квазизинговских ионов Dy^{3+} в $DyFeO_3$ $\sigma \approx k_B T_{N_2}/\delta^2$; δ — ширина границы, имеющая величину порядка постоянной решетки a), $\Delta \Phi \approx k_B T_{N_2}/a^3$ — разность плотности энергий ферромагнитной структуры и антиферромагнитной (парамагнитной) фаз. При этом вероятность образования зародышей по механизму термической активации [4] $p \approx \exp\{-16\pi T_{N_2}/3T\}$. Для температур $T \approx 5 \div 10$ К $p \approx 10^{-6} \div 10^{-3}$ с⁻¹. Таким образом, в случае достаточно быстрого уменьшения поля H при размагничивании большая часть ионов Dy^{3+} остается в метастабильном возбужденном состоянии $| +15/2 \rangle$ (рис. 3), т. е. происходит инверсия заселенно-

стей уровней $| \pm 15/2 \rangle$ и ионы Dy^{3+} запасают энергию $\sim \Delta E_0/\text{ион}$. Следовательно, импульсное размагничивание в рассматриваемом случае производит эффект, аналогичный оптической накачке. Вследствие малой вероятности прямых магнитодипольных переходов между уровнями $| +15/2 \rangle \rightarrow | -15/2 \rangle$ [6] запасенная энергия ΔE_0 не излучается, а в основном передается фононной подсистеме, вызывая нагрев образца

$$\Delta T_{\text{ав}}(H) = \Delta T_{\text{ав}}^{\max} \{1 - \exp[-\Delta E_{\mu}(H)/k_B T]\},$$

$$\Delta T_{\text{ав}}^{\max} = N \Delta E_0 / C_p,$$
(4)

где N — число ионов Dy^{3+} ; C_p — теплоемкость $DyFeO_3$; экспоненциальный фактор учитывает истинную заселенность уровней $| -15/2 \rangle$ при $H >$

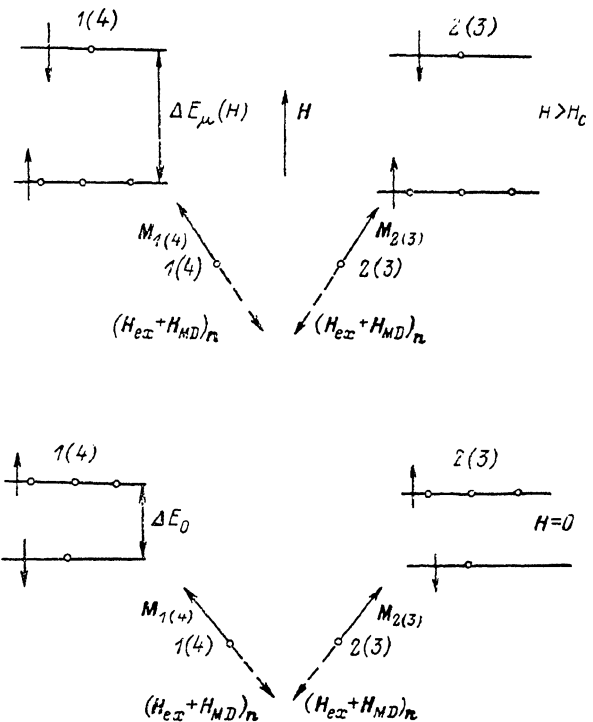


Рис. 3. Схематическое изображение инверсии заселенностей энергетических уровней ионов Dy^{3+} при импульсном размагничивании.

H_c , вследствие которой соответствующие ионы Dy^{3+} не запасают энергию, поскольку при включении поля оказываются в основном состоянии $| -15/2 \rangle$. При $H \rightarrow \infty$ $\Delta T_{\text{ав}} \rightarrow \Delta T_{\text{ав}}^{\max}$. Для характерных в $DyFeO_3$ значений ΔE_0 , C_p [6] $\Delta T_{\text{ав}}^{\max} \approx 10$ К, что согласуется с экспериментальными данными. Уменьшение поля сопровождается уменьшением $\Delta T_{\text{ав}}$. На рис. 2 проведено сопоставление экспериментальных и рассчитанных по (4) значений $\Delta T_{\text{ав}}$ (при этом предполагалось, что $\Delta E_0/k_B \approx T_{N_2} = 3.5$ К [2]).

В заключение выражаем искреннюю благодарность за полезные дискуссии К. П. Белову и А. М. Кадомцевой.

Список литературы

- [1] Вонсовский С. В. Магнетизм. М.: Наука, 1971. С. 1032.
- [2] Gorodetsky G., Sharon B., Shtrikman S. // J. Appl. Phys. 1968. V. 39. N 2. P. 1371—1372.
- [3] Тишин А. М. // Автореф. канд. дис. М., МГУ, 1988. С. 13.

- [4] Нечипоренко И. Н. // ФНТ. 1975. Т. 1. № 11. С. 1481—1495.
 [5] Ландау Л. Д., Лифшиц Е. М. Квантовая механика. М.: Наука, 1974. С. 752.
 [6] Berton A., Sharon B. // J. Appl. Phys. 1968. V. 39. N 2. P. 1367—1368.

Московский государственный
университет им. М. В. Ломоносова
Москва

Поступило в Редакцию
22 сентября 1988 г.
В окончательной редакции
6 января 1989 г.

УДК 537.94

Физика твердого тела, том 31, в. 5, 1989
Solid State Physics, vol. 31, № 5, 1989

ИССЛЕДОВАНИЕ ФАЗОВОЙ P, T -ДИАГРАММЫ НЕСОРАЗМЕРНОГО СЕГНЕТОЭЛАСТИКА Cs_2HgBr_4 МЕТОДОМ ОПТИЧЕСКОГО ДВУПРЕЛОМЛЕНИЯ

О. Г. Влох, А. В. Китык, О. М. Мокрый,
В. В. Кириленко, И. Д. Олексанюк, С. А. Пирога

Кристаллы Cs_2HgBr_4 являются представителями обширной группы кристаллов $A_2\text{BX}_4$ со структурой типа $\beta\text{-K}_2\text{SeO}_4$ при комнатной температуре. При охлаждении они претерпевают последовательность ряда фазовых переходов из исходной параэластической фазы (ПФ) с симметрией

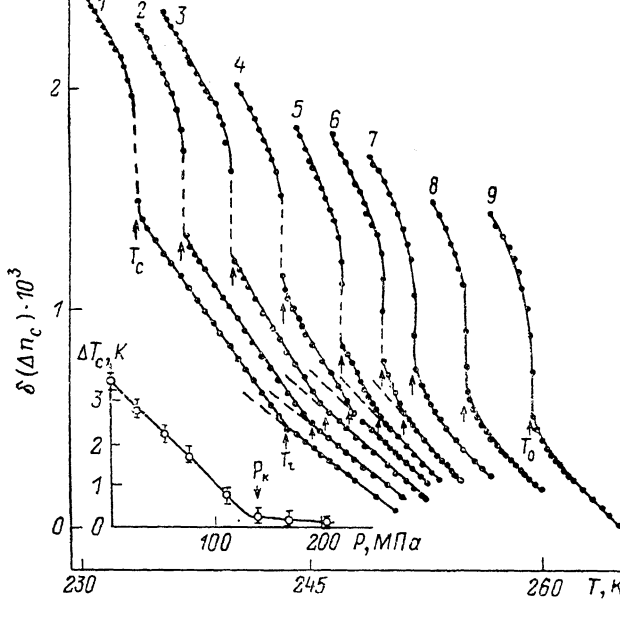


Рис. 1. Изобарические температурные зависимости оптического двупреломления $\delta(\Delta n_c) \cdot 10^3$ кристалла Cs_2HgBr_4 при различных значениях гидростатического давления.

P , МПа: 1 — 0,1, 2 — 25, 3 — 50, 4 — 75, 5 — 110, 6 — 125, 7 — 140, 8 — 170, 9 — 205.
На вставке — барическая зависимость температурного гистерезиса перехода СФ — НФ.

Pn_{pa} при $T_c = 243$ К в несоразмерную фазу (НФ), при $T_c = 230$ К — в собственную сегнетоэластическую соразмерную фазу (СФ) с симметрией $P2_1/n11$, при $T_{L_1} = 165$ К — в собственную сегнетоэластическую фазу с симметрией $P\bar{1}$ и при $T_{L_2} = 85$ К — в фазу с симметрией $P\bar{1}$ и удвоенным периодом элементарной ячейки вдоль b -оси кристалла [1-4]. Темпера-